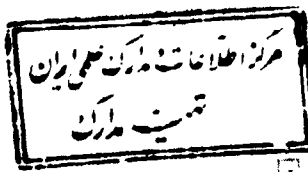


٢٧٨٩١



۱۶ / ۱۲ / ۱۳۸۸



دانشگاه تهران

تحلیل محیط نیمه بی‌نهایت ایزوتروپ جانبی تحت اثر
نیروی متحرک کسینوسی

: ۵۱۳۹

حسن بهار توسط:

استاد راهنما: دکتر محمد رحیمیان

پایان نامه جهت دریافت درجه کارشناسی ارشد

در

رشته مهندسی عمران گرایش سازه

دانشکده فنی

۲۷۰۹۸

تحلیل محیط نیمه بی‌نهایت ایزوتروپ جانبی تحت اثر نیروی متحرک کسینوسی

توسط: حسن بهار
استاد راهنما: دکتر محمد رحیمیان

پایان نامه جهت دریافت درجه کارشناسی ارشد مهندسی عمران گرایش سازه

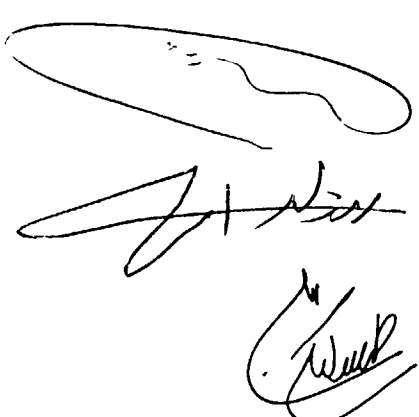
از این پایان نامه در تاریخ چهارشنبه ۲۷ بهمن ماه ۱۳۷۸ در مقابل هیأت داوران
دفاع به عمل آمد و مورد تصویب قرار گرفت.

اعضای هیأت داوران:

۱- دکتر محمد رحیمیان (استاد راهنما)

۲- دکتر اسد ا... نورزاد

۳- دکتر ایرج محمود زاده کنی



تحلیل محیط نیمه بینهایت ایزوتروب جانبی تحت اثر نیروی متحرک کسینوسی

نام و نام خانوادگی: حسن بهار

رشته تحصیلی و گرایش: مهندسی عمران - سازه

گروه: عمران

تاریخ دفاع: ۱۳۷۸/۱۱/۲۷

استاد راهنما: دکتر محمد رحیمیان

چکیده:

در این پایان نامه، تحلیل محیط نیمه بینهایت ایزوتروب جانبی تحت اثر بار متحرک که به صورت قائم بر سطح محیط وارد

می‌شود مورد نظر است. نیروی سطحی هارمونیک در دستگاه مختصات XZY به صورت رابطه زیر در نظر گرفته می‌شود:

$$P(x, y, t) = P_0 \delta(y) e^{i \frac{n\pi}{L} (x - Ct)}$$

برای حل این مسأله، از توابع پتانسیل لخنیتسکی استفاده می‌شود. در این روش، دستگاه معادلات دیفرانسیل با مشتقات

پاره‌ای به صورت مجزا تبدیل شده و این معادلات مجزا به کمک تبدیل انتگرالی فوریه حل می‌شوند. بنابراین، تغییر مکانها و

تشههای در فضای فوریه به دست می‌آیند. سپس با اعمال تبدیل وارون

فوریه و انتگرال گیری عددی تغییر مکانها و تشههای ناشی از بار در فضای حقیقی به دست می‌آیند. در انتهای به

کمک سری فوریه تغییر مکانها و تشههای ناشی از بارهای هارمونیک با هم جمع بسته می‌شوند و تغییر مکانها و

تشههای ناشی از بار متمرکز متحرک به دست می‌آیند.

کلیه نتایج فوق هم برای محیط‌های ایزوتروب جانبی و هم برای محیط‌های ایزوتروب به دست آمدند. همچنین نمودارهایی که

نتایج عددی را در انتهای پایان نامه بیان می کنند، اطباقي بسیار خوب نتایج این تحقیق و نتایج موجود در محیطهای ایزوتروپ و ایزوتروپ جانبی در حالت استاتیکی را نمایش می دهد که نشان دهنده صحت جوابهای به دست آمده از این پایان نامه هستند. نتایج این پایان نامه می توانند در تحقیقات بعدی و نیز برای مقاصد طراحی استفاده گردد.

فهرست مطالب:

۷-۱	مقدمه: تاریخچه و معرفی مسأله
۲	۱-تاریخچه
۵	۲-معرفی این پایان نامه
۱۶-۸	فصل اول: معادلات حرکت در محیط ایزوتربوپ جانبی
۹	۱-معادله دیفرانسیل حاکم
۱۱	۲-به دست آوردن معادله حرکت بر حسب تغییر مکانها
۱۲	۳-معادله حرکت در محیط ایزوتربوپ جانبی
۱۴	۴-شرایط مرزی مسأله
۱۴	۵-نتیجه گیری
۲۳-۱۷	فصل دوم: توابع پتانسیل مورد نیاز برای حل معادله حرکت حاکم بر محیط ایزوتربوپ جانبی و معادلات دیفرانسیل حاکم بر توابع پتانسیل
۱۸	۰-مقدمه
۱۸	۱-به دست آوردن معادلات دیفرانسیل حاکم بر توابع پتانسیل
۵۰-۲۴	فصل سوم: حل معادلات حاکم بر توابع پتانسیل و محاسبه تغییر مکانها و تنشها
۲۵	۰-مقدمه
۲۵	۱-تبديل فوريه
۲۵	۲-خواص تبديل فوريه
۲۶	۳-۱-خطی بودن
۲۶	۳-۲-تبديل مشتق

۲۶	۳-۳- حل تحلیلی معادلات دیفرانسیل حاکم بر توابع پتانسیل در فضای تبدیل یافته
۲۶	۱-۳-۳- حل معادله $\nabla_1^2 \nabla_2^2 F = 0$
۳۱	۲-۳-۳- حل معادله $\nabla_0^2 \chi = 0$
۳۳	۴-۳- ارضا شرایط مرزی و به دست آوردن تغییر مکانها و تنشها در فضای حقیقی
۳۴	۴-۴-۳- ارضا اصل تشعشع
۳۵	۴-۴-۳- به دست آوردن کرنشها بر حسب تغییر مکانها
۳۷	۴-۴-۳- به دست آوردن تنشها
۴۰	۴-۴-۳- ارضا شرایط مرزی برای به دست آوردن ضرایب مجهول B_1, B_2, B_3
۴۳	۴-۴-۳- به دست آوردن تنشها و تغییر مکانها در فضای حقیقی
۴۶	۵-۳- به دست آوردن تغییر مکانها و تنشها ناشی از بار متمرکز متحرک
۴۷	۵-۳-۱- سری فوریه
۴۷	۵-۳-۲- بسط به سری فوریه نیروی متمرکز متحرک
۱۱۶-۵۱	فصل چهارم: روش‌های عددی اعمال تبدیل وارون فوریه و محاسبه سری فوریه
۵۲	۴-۰- مقدمه
۵۲	۴-۱- روش‌های انتگرال گیری عددی
۵۳	۴-۱-۱- قاعده ذوزنقه
۵۴	۴-۱-۲- قاعده سیمپسون ساده
۵۵	۴-۲-۲- مسائل و مشکلات مربوط به برآورد عددی جوابها
۵۵	۴-۲-۴- انتگرال گیری از توابع مختلط
۵۶	۴-۲-۲-۴- نقاط تکین و روش‌های مقابله با آنها
۵۷	۴-۳-۲-۴- تعیین حد بالا و پایین انتگرال گیری

۵۷	۴-۲-۴- تعیین گامهای انتگرال‌گیری
۵۹	۴-۲-۵- اصلاح آرگومانهای توابع به صورت $e^{i\theta}$
۵۹	۴-۳- تأخیر فاز در جوابها
۶۱	۴-۴- حل مسأله در حالت استاتیکی
۶۱	۴-۵- بسط به سری فوریه بارگذاریهای به صورت $e^{i\omega_n(x-Ct)}$
۶۲	۴-۵-۱- محاسبه ضریب جمله عمومی بسط به سری فوریه در حالت خاص $n=0$.
۶۲	۴-۶- مشخصات و رودیهای برنامه کامپیوتري
۶۴	۴-۷- بررسی صحت جوابهای به دست آمده از این پایان نامه
۶۴	۴-۷-۱- روابط تغییر مکان و تنش مربوط به مسأله بوسینسک
۶۷	۴-۷-۲- روابط تغییر مکان و تنش مربوط به مقاله پن و چو
۶۹	۴-۸- نتایج عددی و نمودارها
۱۲۰-۱۱۷	فصل پنجم: نتیجه گیری
۱۲۲-۱۲۱	فهرست مراجع:

فهرست نمودارها:

- نمودار ۴-۱- مقایسه تغییرات U_z بر حسب $y=0$ mm بین نتایج پایان نامه و مقاله بوسینسک در $z=2$.mm
- نمودار ۴-۲- مقایسه تغییرات U_y بر حسب $y=0$ mm بین نتایج پایان نامه و مقاله بوسینسک در $z=2$.mm
- نمودار ۴-۳- مقایسه تغییرات S_{xx} بر حسب $y=0$ mm بین نتایج پایان نامه و مقاله بوسینسک در $z=2$.mm
- نمودار ۴-۴- مقایسه تغییرات S_{yy} بر حسب $y=0$ mm بین نتایج پایان نامه و مقاله بوسینسک در $z=2$.mm
- نمودار ۴-۵- مقایسه تغییرات S_{zz} بر حسب $y=0$ mm بین نتایج پایان نامه و مقاله بوسینسک در $z=2$.mm
- نمودار ۴-۶- مقایسه تغییرات S_{yz} بر حسب $y=0$ mm بین نتایج پایان نامه و مقاله بوسینسک در $z=2$.mm
- نمودار ۴-۷- مقایسه تغییرات U_z بر حسب $y=0$ mm بین نتایج پایان نامه و مقاله پن و چو برای Layered Soil
- نمودار ۴-۸- مقایسه تغییرات S_{zz} بر حسب $y=0$ mm بین نتایج پایان نامه و مقاله پن و چو برای Layered Soil
- نمودار ۴-۹- مقایسه تغییرات S_{zz} بر حسب $y=2$.mm بین نتایج پایان نامه و مقاله پن و چو برای Beryl Rock
- نمودار ۴-۱۰- مقایسه تغییرات S_{zz} بر حسب $y=2$.mm بین نتایج پایان نامه و مقاله پن و چو برای Beryl Rock
- نمودار ۴-۱۱- مقایسه تغییرات U_z بر حسب $y=5$.mm بین نتایج پایان نامه و مقاله پن و چو برای G-Composite
- نمودار ۴-۱۲- مقایسه تغییرات S_{zz} بر حسب $y=5$.mm بین نتایج پایان نامه و مقاله پن و چو برای G-Composite
- نمودار ۴-۱۳- مقایسه تغییرات S_{yz} بر حسب $y=2$.mm بین نتایج پایان نامه و مقاله پن و چو برای Beryl Rock
- نمودار ۴-۱۴- مقایسه تغییرات S_{yz} بر حسب $y=5$.mm بین نتایج پایان نامه و مقاله پن و چو برای G-Composite
- نمودار ۴-۱۵- تغییرات U_z بر حسب $z=0$ در حالت استاتیکی برای مواد مختلف
- نمودار ۴-۱۶- تغییرات U_z بر حسب $z=60$ متر بر ثانیه برای مواد مختلف در $y=0$
- نمودار ۴-۱۷- تغییرات S_{zz} بر حسب $z=60$ متر بر ثانیه برای مواد مختلف در $y=0$
- نمودار ۴-۱۸- تغییرات S_{zz} بر حسب $z=60$ متر بر ثانیه برای مواد مختلف در $y=0$
- نمودار ۴-۱۹- تغییرات U_z بر حسب $z=0$ در Beryl Rock در سرعتهای مختلف برای
- نمودار ۴-۲۰- تغییرات U_z بر حسب $z=0$ در Layered Soil در سرعتهای مختلف برای
- نمودار ۴-۲۱- تغییرات S_{xx} بر حسب $z=0$ در Beryl Rock در سرعتهای مختلف برای
- نمودار ۴-۲۲- تغییرات S_{xx} بر حسب $z=0$ در Layered Soil در سرعتهای مختلف برای
- نمودار ۴-۲۳- تغییرات U_z بر حسب $z=0$ در Beryl Rock در سرعتهای مختلف برای
- نمودار ۴-۲۴- تغییرات S_{zz} بر حسب $z=0$ در Beryl Rock در سرعتهای مختلف برای
- نمودار ۴-۲۵- تغییرات حداکثر مقدار U_z بر حسب z در سرعتهای مختلف برای Beryl Rock در $y=0$

ادامه فهرست نمودارها:

- نمودار ۴-۲۶-تغییرات حداکثر مقدار S_{Bz} بر حسب z در سرعتهای مختلف برای Beryl Rock در $y=0$
- نمودار ۴-۲۷-تغییرات U_z بر حسب z در سرعت ۴۰ متر بر ثانیه برای $y=0$ و ۲ میلیمتر
- نمودار ۴-۲۸-تغییرات S_{Bz} بر حسب z در سرعت ۴۰ متر بر ثانیه برای $y=0$ و ۲ میلیمتر
- نمودار ۴-۲۹-تغییرات U_z بر حسب z در سرعتهای مختلف برای Beryl Rock در $y=2\text{ mm}$
- نمودار ۴-۳۰-تغییرات U_z بر حسب z در سرعتهای مختلف برای Layered Soil در $y=2\text{ mm}$
- نمودار ۴-۳۱-تغییرات U_z بر حسب z در حالت استاتیکی برای مواد مختلف در $y=2\text{ mm}$
- نمودار ۴-۳۲-تغییرات U_z بر حسب z در سرعت ۶۰ متر بر ثانیه برای مواد مختلف در $y=2\text{ mm}$
- نمودار ۴-۳۳-تغییرات S_{yz} بر حسب z در حالت استاتیکی برای مواد مختلف در $y=2\text{ mm}$
- نمودار ۴-۳۴-تغییرات S_{yz} بر حسب z در سرعت ۶۰ متر بر ثانیه برای مواد مختلف در $y=2\text{ mm}$
- نمودار ۴-۳۵-تغییرات S_{yy} بر حسب z در حالت استاتیکی برای مواد مختلف در $y=2\text{ mm}$
- نمودار ۴-۳۶-تغییرات S_{yy} بر حسب z در سرعت ۶۰ متر بر ثانیه برای مواد مختلف در $y=2\text{ mm}$
- نمودار ۴-۳۷-تغییرات S_{zz} بر حسب z در حالت استاتیکی برای مواد مختلف در $y=2\text{ mm}$
- نمودار ۴-۳۸-تغییرات S_{zz} بر حسب z در سرعت ۶۰ متر بر ثانیه برای مواد مختلف در $y=2\text{ mm}$
- نمودار ۴-۳۹-تغییرات U_z بر حسب z برای مواد مختلف در حالت استاتیکی در $z=10\text{ mm}$
- نمودار ۴-۴۰-تغییرات U_z بر حسب z برای مواد مختلف در سرعت ۶۰ متر بر ثانیه در $z=10\text{ mm}$
- نمودار ۴-۴۱-تغییرات U_z بر حسب z برای مواد مختلف در حالت استاتیکی در $z=10\text{ mm}$
- نمودار ۴-۴۲-تغییرات U_z بر حسب z برای مواد مختلف در سرعت ۶۰ متر بر ثانیه در $z=10\text{ mm}$
- نمودار ۴-۴۳-تغییرات S_{xx} بر حسب z برای مواد مختلف در حالت استاتیکی در $z=10\text{ mm}$
- نمودار ۴-۴۴-تغییرات S_{xx} بر حسب z برای مواد مختلف در سرعت ۶۰ متر بر ثانیه در $z=10\text{ mm}$
- نمودار ۴-۴۵-تغییرات S_{yy} بر حسب z برای مواد مختلف در حالت استاتیکی در $z=10\text{ mm}$
- نمودار ۴-۴۶-تغییرات S_{yy} بر حسب z برای مواد مختلف در سرعت ۶۰ متر بر ثانیه در $z=10\text{ mm}$
- نمودار ۴-۴۷-تغییرات S_{zz} بر حسب z برای مواد مختلف در حالت استاتیکی در $z=10\text{ mm}$
- نمودار ۴-۴۸-تغییرات S_{zz} بر حسب z برای مواد مختلف در سرعت ۶۰ متر بر ثانیه در $z=10\text{ mm}$
- نمودار ۴-۴۹-تغییرات S_{yz} بر حسب z برای مواد مختلف در حالت استاتیکی در $z=10\text{ mm}$
- نمودار ۴-۵۰-تغییرات S_{yz} بر حسب z برای مواد مختلف در سرعت ۶۰ متر بر ثانیه در $z=10\text{ mm}$
- نمودار ۴-۵۱-تغییرات S_{yy} بر حسب z در سرعتهای مختلف برای Beryl Rock در $y=0$
- نمودار ۴-۵۲-تغییرات S_{yy} بر حسب z در سرعتهای مختلف برای Layered Soil در $y=0$
- نمودار ۴-۵۳-تغییرات U_z بر حسب z در سرعتهای مختلف برای Beryl Rock در $y=0$
- نمودار ۴-۵۴-تغییرات U_z بر حسب z در سرعتهای مختلف برای Beryl Rock در $y=0$
- نمودار ۴-۵۵-تغییرات S_{xx} بر حسب z در سرعتهای مختلف برای Beryl Rock در $y=0$
- نمودار ۴-۵۶-تغییرات S_{yy} بر حسب z در سرعتهای مختلف برای Beryl Rock در $y=0$

ادامه فهرست نمودارها:

- نمودار ۴-۵۷-تغییرات S_{zz} بر حسب $z=10\text{ mm}$ در سرعتهای مختلف برای Beryl Rock
- نمودار ۴-۵۸-تغییرات S_{yy} بر حسب $z=10\text{ mm}$ در سرعتهای مختلف برای Beryl Rock
- نمودار ۴-۵۹-تغییرات S_{xy} بر حسب x برای محیط Isotropic در $z=10\text{ mm}$
- نمودار ۴-۶۰-تغییرات S_{xz} بر حسب t برای محیط Isotropic و سرعت ۱۰ میلیمتر بر ثانیه در $z=10\text{ mm}$
- نمودار ۴-۶۱-تغییرات S_{zz} بر حسب t برای G-Composite در $z=.01\text{ mm}$
- نمودار ۴-۶۲-شرايط مرزی برای Beryl Rock در $x = 20\text{ mm}, y = 1\text{ mm}, z = 0\text{ mm}, t = 0\text{ s}$
- نمودار ۴-۶۳-تغییرات S_{zz} بر حسب z در حالت استاتیکی برای مواد مختلف در $y=0\text{ mm}$
- نمودار ۴-۶۴-تغییرات S_{xz} بر حسب z در سرعت ۶۰ متر بر ثانیه برای مواد مختلف در $y=0\text{ mm}$
- نمودار ۴-۶۵-تغییرات S_{zz} بر حسب z در حالت استاتیکی برای مواد مختلف در $y=0\text{ mm}$
- نمودار ۴-۶۶-تغییرات S_{zz} بر حسب z در سرعت ۶۰ متر بر ثانیه برای مواد مختلف در $y=0\text{ mm}$
- نمودار ۴-۶۷-تغییرات S_{zz} بر حسب z در سرعتهای مختلف برای Isotropic در $y=0\text{ mm}$
- نمودار ۴-۶۸-تغییرات S_{zz} بر حسب z در سرعتهای مختلف برای Beryl Rock در $y=0\text{ mm}$
- نمودار ۴-۶۹-تغییرات S_{zz} بر حسب z در سرعتهای مختلف برای Isotropic در $y=0\text{ mm}$
- نمودار ۴-۷۰-تغییرات S_{zz} بر حسب z در سرعتهای مختلف برای Beryl Rock در $y=0\text{ mm}$
- نمودار ۴-۷۱-تغییرات S_{zz} بر حسب z در حالت استاتیکی برای محیطهای مختلف در $z=5\text{ mm}$
- نمودار ۴-۷۲-تغییرات S_{zz} بر حسب z در حالت استاتیکی برای محیطهای مختلف در $z=5\text{ mm}$
- نمودار ۴-۷۳-تغییرات S_{yy} بر حسب z در حالت استاتیکی برای محیطهای مختلف در $z=5\text{ mm}$
- نمودار ۴-۷۴-تغییرات S_{yz} بر حسب z در حالت استاتیکی برای محیطهای مختلف در $z=5\text{ mm}$
- نمودار ۴-۷۵-تغییرات S_{zz} بر حسب z در سرعتهای مختلف برای Beryl Rock در $z=5\text{ mm}$
- نمودار ۴-۷۶-تغییرات S_{zz} بر حسب z در سرعتهای مختلف برای Layered Soil در $z=5\text{ mm}$
- نمودار ۴-۷۷-تغییرات S_{zz} بر حسب z در سرعتهای مختلف برای Beryl Rock در $z=5\text{ mm}$
- نمودار ۴-۷۸-تغییرات S_{zz} بر حسب z در سرعتهای مختلف برای Layered Soil در $z=5\text{ mm}$
- نمودار ۴-۷۹-تغییرات S_{xx} بر حسب z در سرعتهای مختلف برای Beryl Rock در $z=5\text{ mm}$
- نمودار ۴-۸۰-تغییرات S_{xx} بر حسب z در سرعتهای مختلف برای Layered Soil در $z=5\text{ mm}$
- نمودار ۴-۸۱-تغییرات S_{yy} بر حسب z در سرعتهای مختلف برای Beryl Rock در $z=5\text{ mm}$
- نمودار ۴-۸۲-تغییرات S_{yy} بر حسب z در سرعتهای مختلف برای Layered Soil در $z=5\text{ mm}$
- نمودار ۴-۸۳-تغییرات S_{yz} بر حسب z در سرعتهای مختلف برای Beryl Rock در $z=5\text{ mm}$
- نمودار ۴-۸۴-تغییرات S_{yz} بر حسب z در سرعتهای مختلف برای Layered Soil در $z=5\text{ mm}$

مقدمه:

تاریخچه و معرفی مسأله

۱- تاریخچه:

تحلیل محیط‌های نیمه بینهایت تحت اثر نیروهای واردۀ اولین بار در سال ۱۸۲۸ توسط لامه (Lame) و کلپرون (Clapeyron) با طرح مسأله بار نقطه‌ای عمود بر سطح محیط نیمه بینهایت مطرح شد. این مسأله در سال ۱۸۷۸ توسط بوسینسک (J.V.Bossinesq) حل شد [۹]. در سال ۱۹۶۳، باردن (Barden) تابع گرین محیط ایزوتrop جانبی نیمه بینهایت را در حالت نیروی عمودی به دست آورد. در سال ۱۹۷۶ پن (Y.C.Pan) و چو (T.W.Chou) تابع گرین محیط بی‌نهایت ایزوتrop جانبی را در حالت‌های نیروی عمود بر صفحه ایزوتropی و نیروی موازی با صفحه ایزوتropی به دست آورند [۸]. همین دو مولف در سال ۱۹۷۹ مسأله (Mindlin) را برای محیط ایزوتrop جانبی حل کردند. مسأله (Mindlin) تحلیل محیط نیمه بینهایت ایزوتropی است که بار متمرکزی در داخل آن اعمال شده و در سال ۱۹۳۶ حل شده بود. مسأله اخیر پن و چو را می‌توان با صفر در نظر گرفتن عمق بار متمرکز مدفون در محیط به مسأله محیط نیمه بینهایت ایزوتrop جانبی که بار متمرکزی روی سطح آن وجود دارد تبدیل کرد [۵].

در زمینه محیط‌های ایزوتrop جانبی، لخنیتسکی (S.G.Lekhnitskii) حل کلی مسائل متقارن محوری ایزوتrop جانبی را ارائه داده است. وی برای حل این مسائل توابع پتانسیل خاصی را پیشنهاد کرده است. در سال ۱۹۵۴، (Eubank) و (Sternberg) ثابت کردند اگر نیم حجم پایینی (meridional) محیط، نسبت به محور z محدب (z-convex) باشد، حل لخنیتسکی کامل است. در سال ۱۹۹۴ (Wang) ثابت کرد که ارضاء شرط محدب بودن نسبت به محور z ضروری نیست.

در سال ۱۹۵۳، هو (Hu) و در سال ۱۹۵۴ نوواکی (Nowacki) حل لخنیتسکی را برای حل مسائل عمومی سه بعدی محیط ایزوتrop جانبی گسترش دادند. علاوه بر لخنیتسکی، (Elliot)

در سال ۱۹۴۸ و (Lodge) در سال ۱۹۵۵ توابع پتانسیل دیگری ارائه داده‌اند. البته این توابع را می‌توان از توابع پتانسیل لختنیتسکی، هو و نوواکی نتیجه گرفت [۳].

در سال ۱۹۹۵ (W.Z.Wang) و (M.Z.Wang) ثابت کردند مجموعه توابع پتانسیل لختنیتسکی، هو و نوواکی یک مجموعه کامل جهت حل مسائل الاستواستاتیک محیط‌های ایزوتروپ جانبی هستند [۳].

حل مسائل انتشار امواج تنشی در سال ۱۹۰۴ با مقاله لمب (Lamb) آغاز شد. او در این مقاله، انتشار امواج ناشی از یک بار هارمونیک وارد به یک محیط ایزوتروپ ارجاعی نیمه بینهایت را در حالت‌های دو و سه بعدی حل کرده است. معادلات موج در محیط‌های ایزوتروپ به کمک توابع پتانسیل هلمهولتز به صورت مستقل در می‌آیند. لمب برای حل مسئله از همین توابع برای مستقل کردن معادلات موج استفاده کرد. در محیط‌های غیر ایزوتروپ مسئله پیچیده‌تر است و این در حالیست که بسیاری از محیط‌ها و مخصوصاً خاکها رفتارهای غیر ایزوتروپ دارند [۴].

حلهایی نیز برای سطح نیم فضاهای در مسائل انتشار امواج ارائه شده است. در سال ۱۹۶۰ (C.C.Chao) تغییر مکانهای قائم و افقی مرز محیط نیمه بینهایت همگن و ایزوتروبی که تحت اثر نیروی متمرکز مماسی وارد بر سطح محیط است را به دست آورد. در این مسئله Chao فرض کرد که این نیروی متمرکز بر حسب زمان به صورت پله‌ای (Heaviside) تغییر می‌کند. همچنین در سال ۱۹۶۳ (Papadopolus) روی مسائل غیر متقارن محوری مانند بار مماسی مدفون و نیز کوبیل نیرو مطالعاتی انجام داد ولی جزئیات نتایج گذرا را فقط برای سطح محیط نیمه بینهایت ارائه داد [۶].

در سال ۱۹۶۹ گاکن هایمر (D.C.Gakenheimer) و میکلوویچ (J.Miklowitz) حل گذرا تحریک ناشی از بار متمرکز قائمی که با سرعت ثابت روی سطح محیط نیمه بینهایت ایزوتروپ حرکت می‌کند را ارائه دادند. این حل در نهایت به صورت انتگرالهای مقدار اصلی کوشی (Cauchy Principal Value) ارائه شده است. با اینحال روش حل آنها آنقدر عمومیت دارد که برای

تحلیل سایر مسائل غیر متقارن محوری محیطهای نیمه بینهایت راهگشا باشد.

این دو مولف برای حل مسأله نسبت به زمان تبدیل فوریه و نسبت به متغیرهای x و z تبدیل فوریه گرفتند. سپس با استفاده از روش (Cagniard – deHoop) و استفاده از قضیه ماندها تبدیل معکوس دوگانه فوریه و تبدیل معکوس لابلس را انجام دادند. این دو مولف تغییرمکانهای ناشی از موجهای برشی و طولی را جداگانه محاسبه کرده و در انتها حاصل این دو نوع تغییرمکان را باهم جمع بسته‌اند و روابط تغییرمکان را به صورت جبهه موج ارائه کردند. هرچند که انتگرالهای جواب محاسبه عددی نشده‌اند و همچنین بعضی از انتگرالها به صورت مقدار اصلی کوشی بیان شده‌اند [۶].

در سال ۱۹۷۲، (Keer) و (Freedman) ارتعاش هارمونیک یک شالوده نواری صلب که بر روی محیط ارتوتروپ ارجاعی نیمه بینهایت قرار دارد را در حالت دو بعدی بررسی کرده و با استفاده از سری فوریه متغیر زمان را به پارامتر فرکانس تبدیل کرده‌اند. دستگاه معادلات به دست آمده با استفاده از توابع پتانسیل هلمهولتز به صورت مجزا تبدیل شده و معادلات مستقل حاکم با استفاده از تبدیلات انتگرالی حل شده‌اند. در سال ۱۹۹۱ راجاپاکس (Rajapakse) و ونگ (Wang) ارتعاش هارمونیک سازه مدفون در محیط ارتوتروپ را در حالت دو بعدی با استفاده از روش حذفی و رسیدن به معادلات دیفرانسیل مستقل مرتبه بالاتر (دو برابر مرتبه معادلات دیفرانسیل اصلی) و با استفاده از تبدیلات انتگرالی حل کرده‌اند. در سال ۱۹۹۳، همین دو مولف مسأله انتشار امواج هارمونیک ناشی از ارتعاش یک شالوده مدفون در محیط ایزوتروپ جانبی، ارجاعی و نیمه بینهایت را بررسی کرده و توانسته‌اند دستگاه معادلات دیفرانسیل حاکم را با استفاده از روش تبدیل انتگرالی و به کمک توابع پتانسیل الیوت (Elliot) به صورت معادلات مستقل به دست بیاورند. معادلات دیفرانسیل با مشتقهای جزئی به دست آمده، به کمک تبدیل انتگرالی هنکل به شکل معادله